

Sistem de control al poziției unui satelit

Tudor Alinei

May 26, 2021

1 Enunțarea problemei

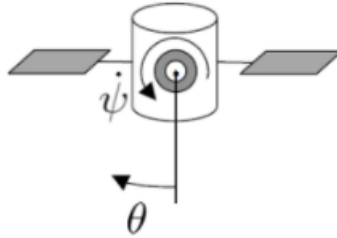
Sistemul de control al poziției unui satelit folosește adesea o roată cu reacție pentru a-i imprima o mișcare unghiulară. Un motor din interiorul satelitului generează un cuplu care modifică viteza unghiulară, $\dot{\psi}$, a volantului (roții de reacție) și care, de asemenea, imprimă satelitului un cuplu egal în modul și de sens opus. Volantul are un moment de inerție, J , astfel, ecuația cuplului ce acționează asupra satelitului este

$$T_{rw} = J \cdot \ddot{\psi} \quad (1)$$

unde $J = 10^3 \text{ kg/m}^2$. Un senzor ce are funcția de transfer $\frac{\psi_m(s)}{\psi(s)} = \frac{1}{s+1}$ măsoară poziția unghiulară ψ și indică unghiul măsurat ψ_m . Cuplul generat de către motor este modelat prin următoarea ecuație:

$$T_{rw} = G_c(s) \cdot (\psi_r - \psi_m) \quad (2)$$

unde G_c reprezintă funcția de transfer a controller-ului, iar ψ_r unghiul de referință.



2 Analiza problemei

a) Intrarea sistemului este: $u(t) = u = T_{rw}$;

- b) Stările sistemului sunt: $\begin{pmatrix} x_1(t) \\ x_2(t) \\ x_3(t) \end{pmatrix} = \begin{pmatrix} x_1 \\ x_2 \\ x_3 \end{pmatrix} = \begin{pmatrix} \psi \\ \dot{\psi} \\ \psi_m \end{pmatrix}$ ceea ce înseamnă că vom avea un sistem de ordin 3;
- c) Ieșirea sistemului este: $y = x_3 = \psi_m$;

3 Realizarea de stare

Primele două ecuații de stare le putem obține analizând prima parte a informațiilor oferite în enunțul problemei și anume:

- a) Viteza unghiulară este derivata poziției unghiulare în funcție de timp:

$$\frac{d\psi}{dt} = \dot{\psi} \equiv \dot{x}_1 = x_2 \quad (3)$$

- b) Din relația $T_{rw} = J \cdot \ddot{\psi}$ putem obține cea de-a doua stare x_2 :

$$\ddot{\psi} = \frac{T_{rw}}{J} \equiv \dot{x}_2 = \frac{1}{J} \cdot u \quad (4)$$

- c) Starea x_3 împreună cu ieșirea y le vom obține scriind fie forma canonică de observare, fie forma canonică de control a subsistemului senzorului dat prin funcția de transfer $\frac{\psi_m(s)}{\psi(s)} = \frac{1}{s+1}$, unde intrarea este $\psi = x_1$, iar ieșirea este

$$y = x_3. \text{ Astfel obținem: } \begin{cases} \dot{x}_3 = x_1 - x_3 \\ y = x_3 \end{cases}$$

$$\text{d) Sistemul final este: } \begin{cases} \dot{x}_1 = x_2 \\ \dot{x}_2 = \frac{1}{J} \cdot u \\ \dot{x}_3 = x_1 - x_3 \\ y = x_3 \end{cases} \equiv \begin{cases} \dot{x}_1 = x_2 \\ \dot{x}_2 = 0.001 \cdot u \\ \dot{x}_3 = x_1 - x_3 \\ y = x_3 \end{cases}$$

$$\text{e) Ecuația diferențială intrare-ieșire: } y = x_3 / \frac{d}{dt} \implies \dot{y} = \dot{x}_3 = x_1 - x_3 / \frac{d}{dt} \implies \implies \ddot{y} = \dot{x}_1 - \dot{y} \equiv \ddot{y} = x_2 - \dot{y} / \frac{d}{dt} \implies \overset{(3)}{y} = \dot{x}_2 - \ddot{y} \implies \overset{(3)}{y} + \overset{(2)}{\dot{y}} = \frac{1}{J} \cdot u$$

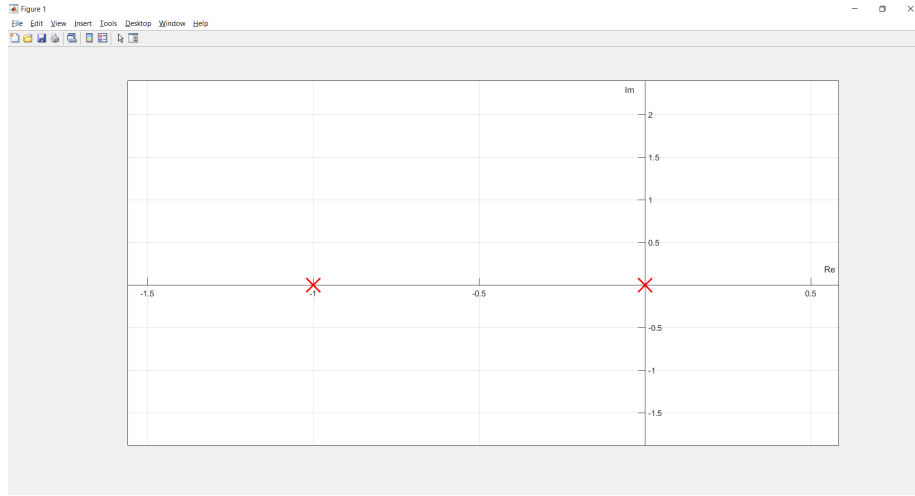
$$\overset{(3)}{y} + \overset{(2)}{\dot{y}} = \frac{1}{J} \cdot u \quad (5)$$

Aplicând transformata Laplace ecuației (5) vom obține:

$$\overset{(3)}{y} + \overset{(2)}{\dot{y}} = \frac{1}{J} \cdot u / \mathcal{L}\{\cdot\}(s) \implies s^3 \cdot Y(s) + s^2 \cdot Y(s) = \frac{1}{J} \cdot U(s) \implies \implies H(s) = \frac{Y(s)}{U(s)} = \frac{\frac{1}{J}}{s^3 + s^2}$$

$$H(s) = \frac{\frac{1}{J}}{s^3 + s^2} = \frac{0.001}{s^3 + s^2} \quad (6)$$

$$\text{f) Singularitățile sistemului sunt: } \begin{cases} \text{Polii : } \hat{s}_{1,2} = 0 \quad \text{și} \quad \hat{s}_3 = -1 \\ \text{Zerouri : nu există} \end{cases}$$

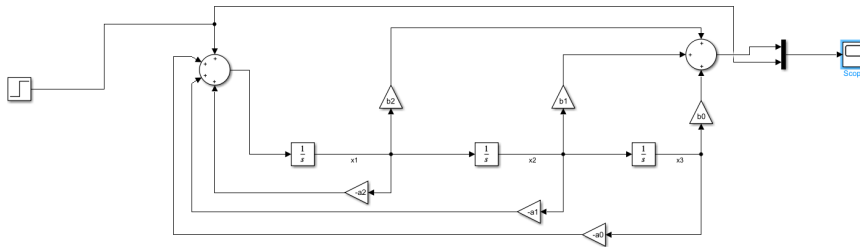


g) Realizările de stare:

$$H(s) = \frac{\frac{1}{J}}{s^3 + s^2} = \frac{0.001}{s^3 + s^2}$$

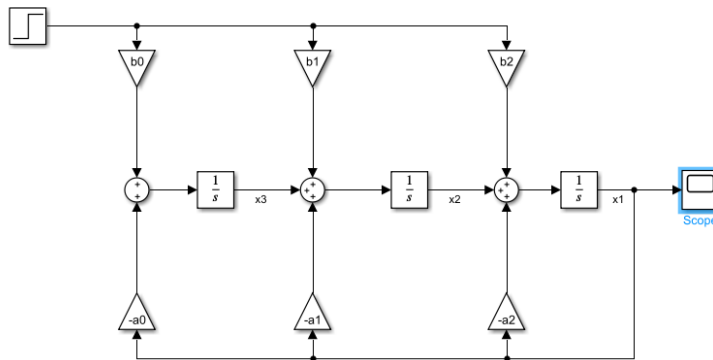
e1) Forma canonică de control: $\begin{cases} a_0 = 0, a_1 = 0, a_2 = 1 \\ b_0 = \frac{1}{J}, b_1 = 0, b_2 = 0 \end{cases}$

$$\left(\begin{array}{c|c} A_c & B_c \\ \hline C_c & D \end{array} \right) = \left(\begin{array}{ccc|c} -1 & 0 & 0 & 1 \\ 1 & 0 & 0 & 0 \\ 0 & 1 & 0 & 0 \\ \hline 0 & 0 & \frac{1}{J} & 0 \end{array} \right) = \left(\begin{array}{ccc|c} -1 & 0 & 0 & 1 \\ 1 & 0 & 0 & 0 \\ 0 & 1 & 0 & 0 \\ \hline 0 & 0 & 0.001 & 0 \end{array} \right)$$



g1) Forma canonică de observare: $\begin{cases} a_0 = 0, a_1 = 0, a_2 = 1 \\ b_0 = \frac{1}{J}, b_1 = 0, b_2 = 0 \end{cases}$

$$\left(\begin{array}{c|c} \frac{A_c}{C_c} & \frac{B_c}{D} \end{array} \right) = \left(\begin{array}{ccc|c} -1 & 1 & 0 & 0 \\ 0 & 0 & 1 & 0 \\ 0 & 0 & 0 & \frac{1}{J} \\ \hline 1 & 0 & 0 & 0 \end{array} \right) = \left(\begin{array}{ccc|c} -1 & 1 & 0 & 0 \\ 0 & 0 & 1 & 0 \\ 0 & 0 & 0 & 0.001 \\ \hline 1 & 0 & 0 & 0 \end{array} \right)$$



g3) Simulări:

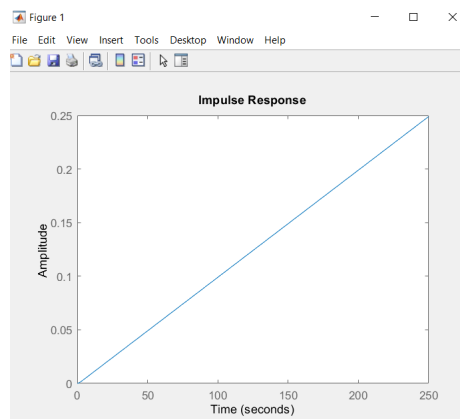


Figure 1: Răspunsul la impulsul Dirac

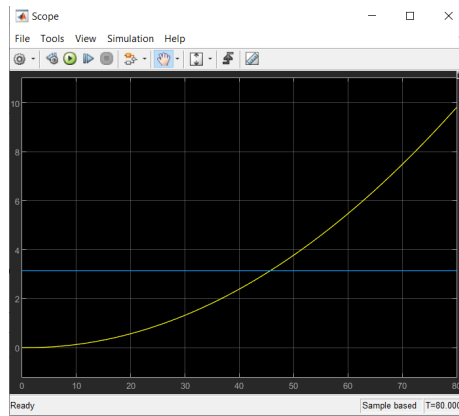


Figure 2: Răspunsul indicial

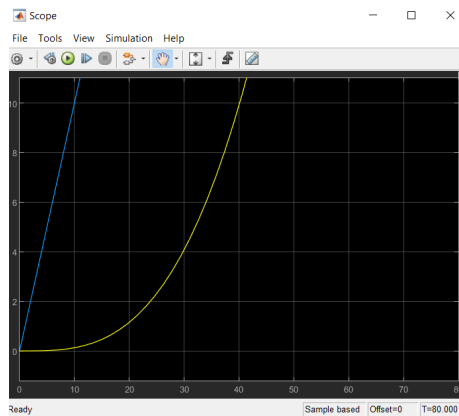


Figure 3: Răspuns la rampă

h) Forma minimală a funcției de transfer:

Se poate observa că $H(s)$ este deja în formă minimală, dar voi demonstra aceasta determinând parametrii Markov și matricea Henkel. Vom avea de determinat $2 \cdot 3 - 1 = 5$ parametri Markov.

$$\frac{\frac{1}{J}}{s^3 + s^2} = 0 \cdot s^{-1} + 0 \cdot s^{-2} + \frac{1}{J} \cdot s^{-3} - \frac{1}{J} \cdot s^{-4} + \frac{1}{J} \cdot s^{-5} + \dots \Rightarrow$$

$$\Rightarrow \begin{cases} \gamma_0 = 0; \\ \gamma_1 = 0; \\ \gamma_2 = 0; \\ \gamma_3 = \frac{1}{j} = 0.001; \\ \gamma_4 = -\frac{1}{j} = -0.001; \\ \gamma_5 = \frac{1}{j} = 0.001; \end{cases} \quad (7)$$

Matricea Henkel va fi in acest caz: $\mathcal{H}_{3,3} = \begin{pmatrix} 0 & 0 & \frac{1}{j} \\ 0 & \frac{1}{j} & -\frac{1}{j} \\ \frac{1}{j} & -\frac{1}{j} & \frac{1}{j} \end{pmatrix} = \begin{pmatrix} 0 & 0 & 0.001 \\ 0 & 0.001 & -0.001 \\ 0.001 & -0.001 & 0.001 \end{pmatrix}$
 $\Rightarrow \det(\mathcal{H}_{3,3}) = -\frac{1}{j^3} \neq 0 \Rightarrow H(s)$ e în formă minimală.

i) Stabilitatea internă si stabilitatea externă:

Până acum am obținut că $H(s) = H_{min}(s) \Rightarrow$ stabilitatea internă coincide cu stabilitatea externă. Polinomul caracteristic pe care il vom folosi in determinarea stabilității interne cât și externe este: $P(s) = s^3 + s^2$.

Tabelul Routh-Hurwitz va avea urmatoarea formă:

$$\begin{array}{c|cc} s^3 & 1 & 0 \\ s^2 & 1 & 0 \\ \hline s^1 & 0 & 0 \\ s^0 & 2 & 0 \\ \hline s^0 & 0 & 0 \\ s^0 & 2 & 0 \end{array}$$

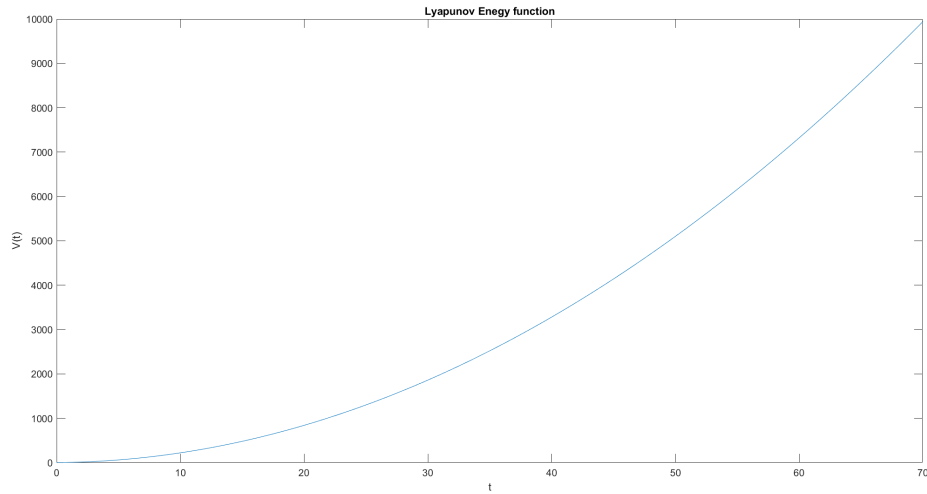
Conform tabelului ar reieși că sistemul nostru este stabil, din moment ce nu avem nici o schimbare de semn, însă, luând în considerare faptul că am efectuat de două ori operația de derivare a liniei precedente va rezulta că 0 este rădăcină dublă a polinomului caracteristic \Rightarrow sistemul este instabil(atât intern cât și extern).

j)Funcția-candidat Lyapunov:

Pentru a determina o astfel de funcție energie am folosit a doua metodă:

-Am considerat o matrice Q pozitiv definită; -Am rezolvat sistemul de ecuatii liniare de forma $A^T \cdot P + A \cdot P = -Q$, unde P este matrice pozitiv definită cu $P = P^T$. Fiindcă acest sistem este instabil, prin metoda de mai sus vom obține un sistem incompatibil, deci nu vom gasi o Funcție de tip energie Lyapunov astfel încât derivata sa să fie mai mică decât 0.

Astfel, vom considera $P = I_3$ și vom realiza reprezentarea lui $V(t) = x^T \cdot P \cdot x$, observând convergența funcției energie spre infinit.



```

Script MatLab:
A=[0 1 0; 0 0 0; 1 0 -1];
B=[0; 0.001; 0];
C=[0 ,0, 1];
D=0;
sys=ss(A,B,C,D);
t=0:0.01:70;
u=zeros(size(t));
x0=[1, 1, 1];
[y,t,x] = lsim(sys,u,t,x0);
P=eye(3);
V=x(:,1).*x(:,1)+x(:,2).*x(:,2)+x(:,3).*x(:,3);
plot(t,V),title('Lyapunov Energy function'),xlabel('t'),ylabel('V(t)');

```

k)Avem: $H(s) = \frac{0.001}{s^3+s^2}$
k1)Funcția pondere: $h(t) = \mathcal{L}^{-1} \{H(s)\} (t) = 0.001 \cdot \mathcal{L}^{-1} \left\{ -\frac{1}{s} + \frac{1}{s^2} + \frac{1}{s+1} \right\} (t) \Rightarrow$

$\Rightarrow h(t) = 0.001 \cdot [-1(t) + t + e^{-t}]$. Semnal ce se regaseste și pe graficul raspunsului sistemului la impulsul Dirac. De asemenea, se poate observa că atunci când t tinde la infinit și $h(t)$ tinde tot la infinit, ceea ce confirmă că sistemul este instabil extern.

k2)Răspunsul indiceal: $U(s) = \frac{1}{s}$
 $Y(s) = U(s) \cdot H(s) = \frac{1}{s} \cdot \frac{0.001}{s^3+s^2} \Rightarrow y_1(t) = \mathcal{L}^{-1} \left\{ \frac{0.001}{s^3 \cdot (s+1)} \right\} (t) \Rightarrow$

$$\begin{aligned} \Rightarrow y_1(t) &= 0.001 \cdot \mathcal{L}^{-1} \left\{ \frac{1}{s} - \frac{1}{s^2} + \frac{1}{s^3} - \frac{1}{s+1} \right\} (t) \Rightarrow \\ \Rightarrow y_1(t) &= 0.001 \cdot [1(t) - t + \frac{1}{2}t^2 - e^{-t}] \equiv \begin{cases} y_p(t) = 0.001 \cdot 1(t) \\ y_t(t) = 0.001 \cdot (-t + t^2 - e^{-t}) \end{cases} \end{aligned}$$

Fiindcă $\lim_{t \rightarrow \infty} y_t(t) = \infty$ și de aici vom obține că sistemul este extern instabil.

$$\begin{aligned} \text{k3) Răspunsul la rampă: } U(s) &= \frac{1}{s^2} \\ Y(s) = U(s) \cdot H(s) &= \frac{1}{s^2} \cdot \frac{0.001}{s^3 + s^2} \Rightarrow y_v(t) = \mathcal{L}^{-1} \left\{ \frac{0.001}{s^4 \cdot (s+1)} \right\} (t) \Rightarrow \\ \Rightarrow y_v(t) &= 0.001 \cdot \mathcal{L}^{-1} \left\{ -\frac{1}{s} + \frac{1}{s^2} - \frac{1}{s^3} + \frac{1}{s^4} + \frac{1}{s+1} \right\} (t) \Rightarrow \\ \Rightarrow y_v(t) &= 0.001 \cdot [-1(t) + t - \frac{1}{2}t^2 + \frac{1}{6} \cdot t^3 + e^{-t}] \equiv \begin{cases} y_p(t) = 0.001 \cdot [-1(t) + t] \\ y_t(t) = 0.001 \cdot (-\frac{1}{2} \cdot t^2 + \frac{1}{6} \cdot t^3 + e^{-t}) \end{cases} \end{aligned}$$

Ca în cazul precedent, limita componentei tranzitorii este infinită, de unde rezultă instabilitatea externă a sistemului. De asemenea, acest lucru era de așteptat, fiindcă neputând să urmărească treapta, nu ar fi putut urmări nici rampa.

1) Constanta de timp corespunzătoare polului $\hat{s}_1 = -1$ este $\hat{T}_1 = 1$.
Factorul de proporționalitate este $K = \frac{1}{J} = 0.001$.

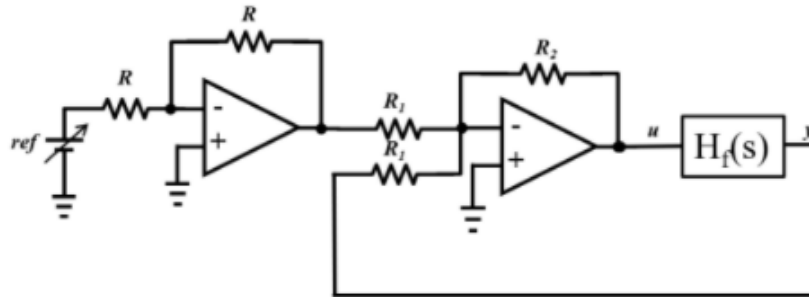
În cazul acestui sistem nu putem discuta despre factor de amortizare ζ și despre pulsația naturală ω_n .

Fiind un sistem instabil, timpul de răspuns $t_r \rightarrow \infty$ pentru orice semnal de intrare.

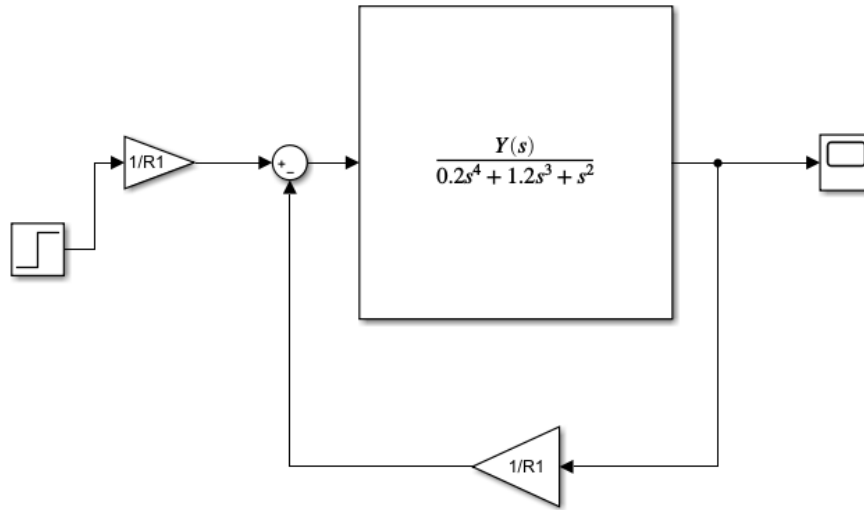
Eroarea staționară la poziție ε_{ssp} , respectiv la viteză ε_{ssv} se calculează cu formula $\lim_{s \rightarrow 0} s(U(s) - Y(s))$, iar amandouă vor fi $-\infty$.

4 Reglarea în buclă închisă a sistemului

1) Reglare în buclă închisă cu ajutorul unui regulator proporțional P.

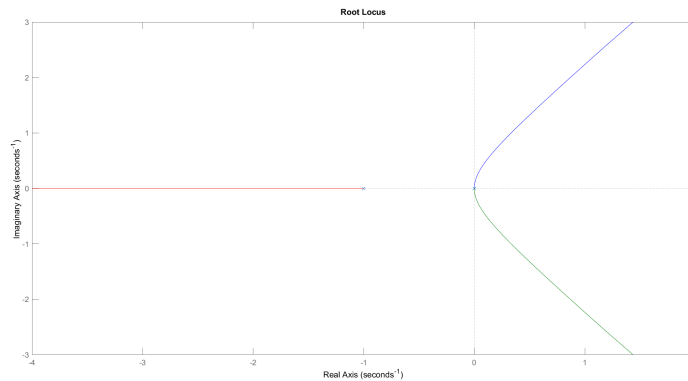


Schema bloc a acestui sistem in buclă închisă este următoarea:



Funcția de transfer a sistemului in buclă închisă:

$H_0 = \frac{H_d(s)}{1 + H_d(s) \cdot H_r(s)} = \frac{\frac{R_2}{R_1} \cdot H(s)}{1 + \frac{R_2}{R_1} \cdot \frac{H(s)}{R_1}} \Rightarrow H_{des} = \frac{H(s)}{R_1}$. Dacă luăm în considerare doar un regulator de tip P, sistemul nu se va stabili, ba chiar, cu cât creștem raportul $\frac{R_2}{R_1}$, cu R_1 fixat, se va observa că sistemul in buclă închisă va fi instabil, iar oscilațiile vor fi din ce în ce mai mari.



De aceea, în structura lui $H(s)$ am introdus un regulator PD cu filtru
 $Hr(s) = \frac{0.02 \cdot s + 0.01}{0.2 \cdot s + 1}$.

Astfel, $H_f(s)$ devine: $H_f(s) = \frac{0.02 \cdot s + 0.01}{0.2 \cdot s + 1} \cdot \frac{0.001}{s^3 + s^2} = \frac{2 \cdot 10^{-5} \cdot s + 10^{-5}}{0.2 \cdot s^4 + 1.2 \cdot s^3 + s^2}$, iar

$$H_0 = \frac{\frac{R_2}{R_1} \cdot \frac{2 \cdot 10^{-5} \cdot s + 10^{-5}}{0.2 \cdot s^2 \cdot (s^2 + 6 \cdot s + 5)}}{1 + \frac{R_2}{R_1} \cdot \frac{1}{R_1} \cdot \frac{2 \cdot 10^{-5} \cdot s + 10^{-5}}{0.2 \cdot s^2 \cdot (s^2 + 6 \cdot s + 5)}} = \frac{\frac{R_2}{R_1} (2 \cdot 10^{-5} \cdot s + 10^{-5})}{0.2 s^4 + 1.2 s^3 + s^2 + 2 \cdot 10^{-5} \cdot \frac{R_2}{R_1} \cdot s + \frac{R_2}{R_1^2} 10^{-5}}.$$

Considerând $R_1 = 5\Omega$ și știind că $H_{des}(s) = \frac{H_f(s)}{R_1}$ obținem:

$$H_{des} = \frac{2 \cdot 10^{-5} \cdot s + 10^{-5}}{s^2 \cdot (s + 1) \cdot (s + 5)} \quad (8)$$

Singularitățile sistemului deschis sunt: $\begin{cases} \hat{s}_1 = -0.5; m = 1 \\ \hat{s}_{1,2} = 0, \hat{s}_3 = -1, \hat{s}_4 = -5 \end{cases} ; n = 4 \implies$
 $n_a = n - m = 3$ asimptote.

Centrul de greutate $\sigma_a = \frac{0+0-1-5+0.5}{3} = \frac{-5.5}{3} = -1.83$.

Unghiurile pe care le fac asimptotele cu axa reală: $\phi_{a_i} = \frac{2 \cdot i - 1}{3} \cdot \pi, i = \overline{1, 3} \implies$
 $\phi_{a_1} = \frac{\pi}{3}, \phi_{a_2} = \pi, \phi_{a_3} = \frac{5 \cdot \pi}{3}$.

Unghiurile de plecare din polii egali cu 0 sunt: π și $-\pi$.

Intersecția cu axa imaginară (o obținem pornind de la polinomul caracteristic $1 + k \cdot H_{des}(s) = 0$ și impunând condiția $s = j \cdot \omega$):

$$\begin{cases} s^4 + 6 \cdot s^3 + 5 \cdot s^2 + 2 \cdot 10^{-5} \cdot k \cdot s + 10^{-5} \cdot k = 0 \\ s = j \cdot \omega \end{cases} \implies \omega^4 - 6 \cdot j \cdot \omega^3 - 5 \cdot \omega^2 + 2 \cdot 10^{-5} \cdot k \cdot j \cdot \omega + 10^{-5} \cdot k = 0 \implies$$

$$\implies \begin{cases} \omega^4 - 5 \cdot \omega^2 + 10^{-5} \cdot k = 0 \\ -6 \cdot \omega^3 + 2 \cdot 10^{-5} \cdot k \omega \implies \omega^2 = \frac{10^{-5} \cdot k}{3} \end{cases} \implies \frac{10^{-10} \cdot k^2}{9} - \frac{5}{3} \cdot 10^{-5} \cdot k +$$

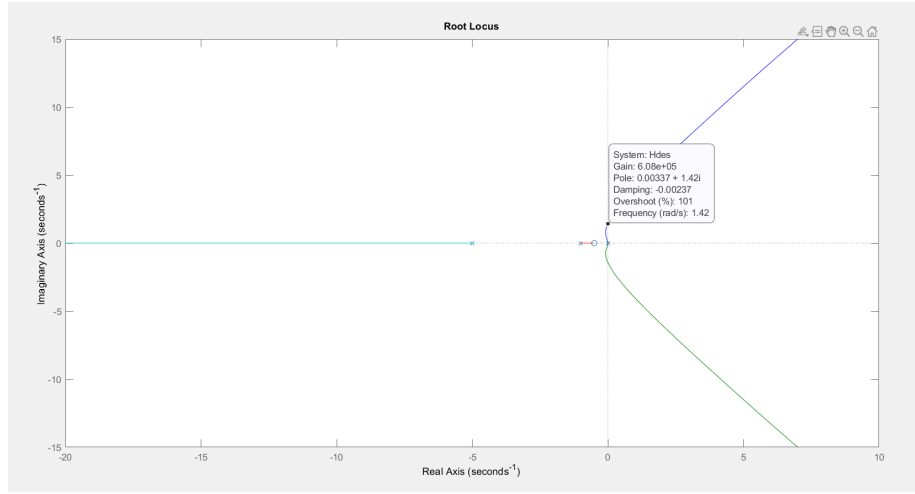
$$+ 10^{-5} \cdot k = 0 \implies k_{cr} = 6 \cdot 10^5 \text{ și } \omega_{1,2} = \pm \sqrt{2}.$$

Obs: Deoarece am împărțit H_{des} la R_1 k obținut va trebui să îl rescalez prin împărțirea cu $R_1 = 5\Omega$.

Stabilitatea sistemului: sistemul este stabil pentru $k \in (0; 1.2 \cdot 10^5]$, unde $k = \frac{R_2}{R_1}$ cu $R_1 = 5\Omega \implies R_2 \in (0, 0.6] M\Omega$.

Regimuri de funcționare și moduri:

$-k \in (0; 1.2 \cdot 10^5) \implies R_2 \in (0, 0.6) M\Omega$: regim oscilant amortizat, $\hat{s}_{1,2} \in \mathbb{C}_-$,
 $\hat{s}_3, \hat{s}_4 \in \mathbb{R}_- \implies$ sistemul are 3 moduri: $e^{Re\{\hat{s}_1\} \cdot t} \cdot \sin(Im\{\hat{s}_1\} \cdot t + \phi), e^{\hat{s}_3 \cdot t}, e^{\hat{s}_4 \cdot t}$.



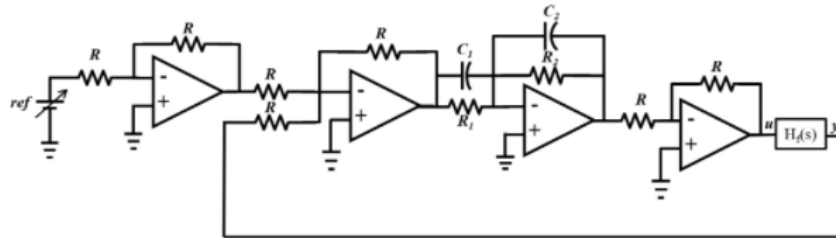
$-k = 1.2 \cdot 10^5 \Rightarrow R_2 = 0.6 M\Omega$: regim oscilant întreținut: $\hat{s}_{1,2} = \pm\sqrt{2} \cdot j$, $\hat{s}_3, \hat{s}_4 \in \mathbb{R}_- \Rightarrow$ sistemul are următoarele 3 moduri: $\sin(\sqrt{2} \cdot t + \phi)$, $e^{\hat{s}_3 \cdot t}$, $e^{\hat{s}_4 \cdot t}$.

$-k \in (1.2 \cdot 10^5, \infty) \Rightarrow R_2 \in (0.6, \infty) M\Omega$: regim oscilant neamortizat, $\hat{s}_{1,2} \in \mathbb{C}_+$, $\hat{s}_3, \hat{s}_4 \in \mathbb{R}_- \Rightarrow$ sistemul are 3 moduri: $e^{Re\{\hat{s}_1\} \cdot t} \cdot \sin(Im\{\hat{s}_1\} \cdot t + \phi)$, $e^{\hat{s}_3 \cdot t}$, $e^{\hat{s}_4 \cdot t}$.

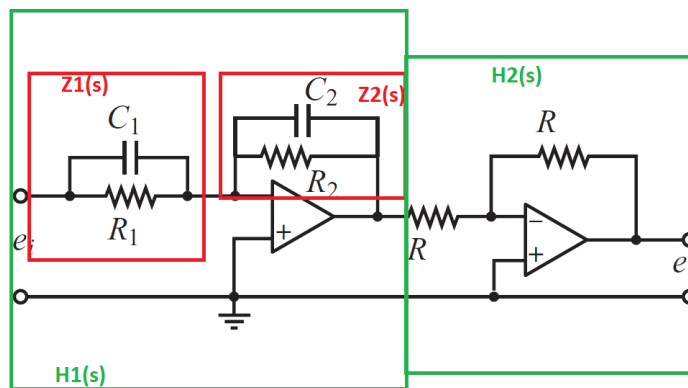
Suprareglajul minim este: $\sigma = 65,9\%$ pentru $\frac{R_2}{R_1} = 0.2 \cdot 10^5$ ($R_1 = 5 \Omega$) $\equiv R_2 \approx 107 k\Omega$.

Timpul de răspuns minim impune condiția necesară dar nu și suficientă ca $Re\{\hat{s}_{dominant}\}$ să fie cât mai aproape de axa imaginară. Din locul rădăcinilor reprezentat în MatLab am obținut că timpul minim de răspuns îl avem pentru $\hat{s}_{dominant} = -0.0858 \pm 0.754 \cdot j \Rightarrow t_r = \frac{4}{|Re\{\hat{s}_{dominant}\}|} = \frac{4}{0.0858} = 46.6 s$.

2) Reglare în buclă închisă folosind un regulator Lead or Lag.

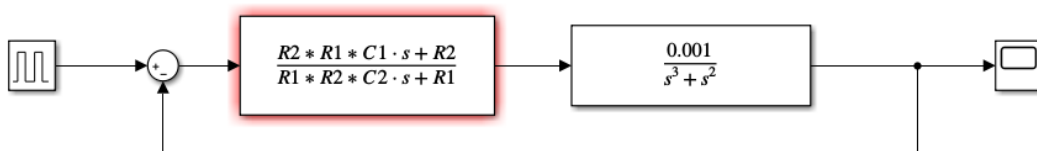


a) Determinarea funcției de transfer a regulatorului Lead or Lag.



$$\begin{cases} H_u(s) = H_1(s) \cdot H_2(s) \\ H_1(s) = -\frac{Z_2(s)}{Z_1(s)}; Z_1(s) = \frac{1}{\frac{1}{R_1} + s \cdot C_1}; Z_2(s) = \frac{1}{\frac{1}{R_2} + s \cdot C_2} \Rightarrow H_1(s) = -\frac{R_2}{R_2 \cdot C_2 \cdot s + 1} \cdot \frac{R_1 \cdot C_1 \cdot s + 1}{R_1} = -\frac{R_2}{R_1} \frac{R_1 \cdot C_1 \cdot s + 1}{R_2 \cdot C_2 \cdot s + 1} \\ H_2(s) = -\frac{R}{R} = -1 \end{cases}$$

$$\Rightarrow H_u(s) = \frac{R_2}{R_1} \frac{R_1 \cdot C_1 \cdot s + 1}{R_2 \cdot C_2 \cdot s + 1}.$$



b) Funcția de transfer a sistemului în buclă închisă:

$$H_0 = \frac{H_{il} \cdot H(s)}{1 + H_{il} \cdot H(s)} = \frac{0.001 \cdot \frac{R_2}{R_1} \cdot (R_1 \cdot C_1 \cdot s + 1)}{(s^3 + s^2) \cdot (R_2 \cdot C_2 \cdot s + 1) + 0.001 \cdot \frac{R_2}{R_1} \cdot (R_1 \cdot C_1 \cdot s + 1)}.$$

Discuția se va face după constanta de timp $T_1 = R_1 C_1$, considerând următoarele

valori constante:
$$\begin{cases} R_2 = 1.5k\Omega; \\ R_1 = 750\Omega; \\ C_2 = 10\mu F. \end{cases}$$

Astfel, vom obține:
$$H_0 = \frac{2 \frac{(T_1 s + 1) 0.001}{(15 \cdot 10^{-6} s + 1)(s^3 + s^2)}}{1 + 2 \cdot \frac{(T_1 s + 1) 0.001}{(15 \cdot 10^{-6} s + 1)(s^3 + s^2)}} = \frac{0.002 T_1 s + 0.002}{(15 \cdot 10^{-6} s + 1)(s^3 + s^2) + (0.002 T_1 s + 0.002)} \Rightarrow$$

$$\Rightarrow H_0(s) = \frac{(0.002 T_1 s + 0.002) \frac{1}{(s^3 + s^2)(15 \cdot 10^{-6} s + 1) + 0.002}}{1 + T_1 \frac{0.002 s}{(s^3 + s^2)(15 \cdot 10^{-6} s + 1) + 0.002}} \Rightarrow H_{des}(s) = \frac{0.002 s}{15 \cdot 10^{-6} s^4 + (15 \cdot 10^{-6} + 1) s^3 + s^2 + 0.002}.$$

c) Trasarea și interpretarea locului rădăcinilor:

Singularitățile sistemului în buclă deschisă sunt:
$$\begin{cases} \hat{s}_1 = 0 \Rightarrow m = 1; \\ \hat{s}_1 = -66666, \hat{s}_2 = -1, \hat{s}_{3,4} = 0.001 \pm 0.044j; n = 4 \end{cases}$$

$$\Rightarrow n_a = 3 \text{ asimptote.}$$

Centrul de greutate al locului rădăcinilor este:
$$\sigma_a = \frac{-66666 - 1 - 0.001 - 0.001 + 0}{3} \approx -22222.$$

Unghiurile pe care le fac asimptotele cu axa reală:
$$\phi_{a_i} = \frac{2 \cdot i - 1}{3} \cdot \pi, i = \overline{1, 3} \Rightarrow$$

$$\phi_{a_1} = \frac{\pi}{3}, \phi_{a_2} = \pi, \phi_{a_3} = \frac{5 \cdot \pi}{3}.$$

Unghiurile de plecare din $\hat{s}_{3,4}$ sunt π și $-\pi$.

Intersecțiile cu axa imaginară:

$$\begin{cases} 15 \cdot 10^{-6} s^4 + (15 \cdot 10^{-6} + 1) s^3 + s^2 + 0.002 + 0.002 k s = 0 \\ s = j\omega \end{cases} \Rightarrow$$

$$15 \cdot 10^{-6} \omega^4 - j\omega^3 - \omega^2 + 0.002 k j\omega + 0.002 = 0 \Rightarrow$$

$$\Rightarrow \begin{cases} 15 \cdot 10^{-6} \omega^4 - \omega^2 + 0.002 = 0 \\ -\omega^3 + 0.002 k \omega = 0 \Rightarrow \omega^2 = 0.002 k \end{cases} \Rightarrow \begin{cases} k_1 = 1; \omega_{1,2} = \pm 0.044 \\ k_2 = 3.333 \cdot 10^7; \omega_{3,4} = \pm 258 \end{cases}.$$

Puncte de desprindere și de apropiere:

$$\begin{cases} 1 + k \cdot H_{des} = 0 \\ \frac{dH_{des}}{ds} = 0 \end{cases} \Rightarrow \begin{cases} s_d = -0.48, k_d = 127 \\ s_a = -0.047, k_a = 43.6 \end{cases}$$

Sensibilitate:

-relativ mare, deoarece în funcție de T_1 se schimbă stabilitatea sistemului.
 -relativ mică, deoarece sistemul iese din stabilitate pentru valori foarte mari ale lui T_1 , aproximativ un an.

Stabilitate: sistemul este stabil pentru $T_1 \in [1, 3.333 \cdot 10^7]$

Regimuri și moduri:

$-T_1 \in (0, 1)$: regim oscilant neamortizat, $\hat{s}_{1,2} \in \mathbb{C}_+$, $\hat{s}_3, \hat{s}_4 \in \mathbb{R}_- \Rightarrow$ sistemul are 3 moduri: $e^{Re\{\hat{s}_1\} \cdot t} \cdot \sin(Im\{\hat{s}_1\} \cdot t + \phi), e^{\hat{s}_3 \cdot t}, e^{\hat{s}_4 \cdot t}.$

$-T_1 = 1$: regim oscilant întreținut, $\hat{s}_{1,2} = \pm 0.044j$, $\hat{s}_3, \hat{s}_4 \in \mathbb{R}_- \Rightarrow$ sis-

temul are 3 moduri: $\sin(0.044 \cdot t + \phi), e^{\hat{s}_3 \cdot t}, e^{\hat{s}_4 \cdot t}$.

$-T_1 \in (1, 43.6)$: regim oscilant amortizat, $\hat{s}_{1,2} \in \mathbb{C}_-$, $\hat{s}_3, \hat{s}_4 \in \mathbb{R}_-$ \implies sistemul are 3 moduri: $e^{Re\{\hat{s}_1\} \cdot t} \cdot \sin(Im\{\hat{s}_1\} \cdot t + \phi), e^{\hat{s}_3 \cdot t}, e^{\hat{s}_4 \cdot t}$.

$-T_1 = 43.6$: regim aperiodic critic amortizat, $\hat{s}_{1,2} \in \mathbb{R}_-$, $\hat{s}_3, \hat{s}_4 \in \mathbb{R}_-$ \implies sistemul are 4 moduri: $e^{-0.047 \cdot t}, t \cdot e^{-0.047 \cdot t}, e^{\hat{s}_3 \cdot t}, e^{\hat{s}_4 \cdot t}$.

$-T_1 \in (43.6, 127)$: regim aperiodic amortizat, $\hat{s}_{1,2} \in \mathbb{R}_-$, $\hat{s}_3, \hat{s}_4 \in \mathbb{R}_-$ \implies sistemul are 4 moduri: $e^{\hat{s}_1 \cdot t}, e^{\hat{s}_2 \cdot t}, e^{\hat{s}_3 \cdot t}, e^{\hat{s}_4 \cdot t}$.

$-T_1 = 127$: regim aperiodic critic amortizat, $\hat{s}_{1,2} \in \mathbb{R}_-$, $\hat{s}_3, \hat{s}_4 \in \mathbb{R}_-$ \implies sistemul are 4 moduri: $e^{-0.48 \cdot t}, t \cdot e^{-0.48 \cdot t}, e^{\hat{s}_3 \cdot t}, e^{\hat{s}_4 \cdot t}$.

$-T_1 \in (127, 3.33 \cdot 10^7)$: regim oscilant amortizat, $\hat{s}_{1,2} \in \mathbb{C}_-$, $\hat{s}_3, \hat{s}_4 \in \mathbb{R}_-$ \implies sistemul are 3 moduri: $e^{Re\{\hat{s}_1\} \cdot t} \cdot \sin(Im\{\hat{s}_1\} \cdot t + \phi), e^{\hat{s}_3 \cdot t}, e^{\hat{s}_4 \cdot t}$. Având în vedere că polul dominant este pe axa reală și foarte aproape de origine, putem afirma că regimul este aperiodic amortizat.

$-T_1 = 3.333 \cdot 10^7$: regim oscilant întreținut, $\hat{s}_{1,2} = \pm 258j$, $\hat{s}_3, \hat{s}_4 \in \mathbb{R}_-$ \implies sistemul are 3 moduri: $\sin(258 \cdot t + \phi), e^{\hat{s}_3 \cdot t}, e^{\hat{s}_4 \cdot t}$.

$-T_1 \in (3.333 \cdot 10^7, \infty)$: regim oscilant neamortizat, $\hat{s}_{1,2} \in \mathbb{C}_+$, $\hat{s}_3, \hat{s}_4 \in \mathbb{R}_-$ \implies sistemul are 3 moduri: $e^{Re\{\hat{s}_1\} \cdot t} \cdot \sin(Im\{\hat{s}_1\} \cdot t + \phi), e^{\hat{s}_3 \cdot t}, e^{\hat{s}_4 \cdot t}$.

Pulsația maximă de oscilație se va obține pentru valoarea părții imaginare a polilor cât mai mare în modul. În acest caz se obține pentru $T_1 = 3.333 \cdot 10^7$, iar valoarea este $\omega_{osc} = 258$.

Sistemul e la limita de stabilitate când: $T_1 \in \{1, 3.333 \cdot 10^7\}$.

